

Università degli studi di Bergamo

Scuola di Ingegneria (Dolmine)

CCS Ingegneria Edile

LM-24 Ingegneria delle Costruzioni Edili

Complementi di Scienza delle Costruzioni

( ICAR/08 - SdC ; 6 CFU )

A.A. 2020/2021

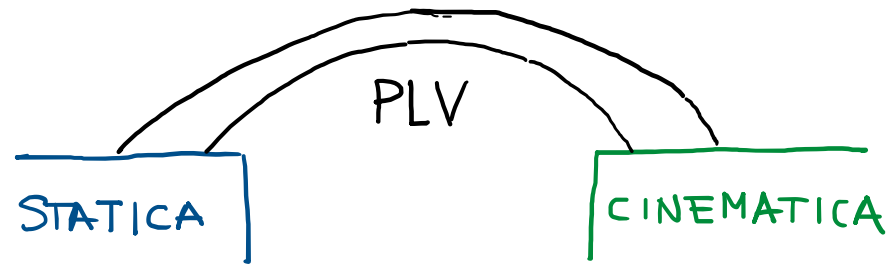
prof. Egidio RIZZI

[egidio.rizzi@unibg.it](mailto:egidio.rizzi@unibg.it)

LEZIONE 16

# Principio dei Lavori Virtuali (PLV) $\rightarrow$ Meccanica dei continui

"Ponte" tra statica e cinematica



Enunciato del PLV (CN di equilibrio e di congruenza):

$$\forall \begin{cases} \text{Sistema A} \\ \text{Sistema B} \end{cases}: \mathcal{L}_e^{AB} = \int_V \underbrace{\mathbf{F}^A_i \cdot \Delta^B_i}_{\mathbf{F}_i^A \Delta_i^B} dV + \int_S \underbrace{\mathbf{f}^A_i \cdot \Delta^B_i}_{\mathbf{f}_i^A \Delta_i^B} dS + \int_{S_s} \underbrace{\mathbf{n}_i \cdot \sigma_{ij}^A \cdot \bar{\sigma}_j^B}_{n_i \sigma_{ij}^A \bar{\sigma}_j^B} dS = \int_V \underbrace{\sigma_{ij}^A : \mathbf{E}^B}_{\sigma_{ij}^A \mathbf{E}^B} dV = \mathcal{L}_i^{AB}$$

Manifestazioni del PLV (CS): strumenti applicativi, operativi ("metodi")

PSV (CS di equilibrio)

$$\left. \begin{aligned} \text{Sistema B cinem. amm.} \\ \mathcal{L}_e = \mathcal{L}_i^{AB} \end{aligned} \right\} : \begin{aligned} \text{Sistema A static. amm.} \\ (\text{v. "metodo degli spostamenti"}) \end{aligned}$$

Sistema A

staticamente  
ammissibile:

Famiglie di quantità  
statiche equilibrate

$$\mathbf{F}, \mathbf{f}; \boldsymbol{\sigma}$$

"virtuali"

no cause-effetto

Sistema B

cinematicamente  
ammissibile:

Famiglie di quantità  
cinematiche congruenti

$$\mathbf{A}, \bar{\mathbf{A}}, \mathbf{E}^B$$

$$\mathbf{E}^B = \frac{1}{2} \left( \nabla \mathbf{A}^B + \nabla \mathbf{A}^{BT} \right) \text{ in } V$$

$$\mathbf{A}^B = \frac{1}{2} \mathbf{A}$$

$$\text{su } S_s$$

$$\text{div } \boldsymbol{\sigma} + \mathbf{F} = 0 \text{ in } V$$

$$\mathbf{t}_h = \mathbf{n} \cdot \boldsymbol{\sigma} = \mathbf{f} \text{ su } S_f$$

(valido  
independentemente  
del comportamento  
del materiale)

PFV (CS di congruenza)

Sistema A static. amm.  $\left. \right\} :$

$$\mathcal{L}_e = \int_i^{AB} \mathbf{F}^A_i \cdot \Delta^B_i dV$$

(v. "metodo delle forze")

Sistema B  
cinem. amm.

Dim. del PLV (C N di equil. e congruenza)  $\Rightarrow$  Teorema dei Lavori Virtuali

$\left\{ \begin{array}{l} \text{H.p.: } A \rightarrow B \text{ ammiss.} \\ \text{Tesi: } f_e = f_i \end{array} \right.$

[Th. della divergenza:

$$\int_V \operatorname{div} g \, dV = \int_S m \cdot g \, dS, \quad g_i: \text{campo tensoriale es. vettore } g_i$$

$$[\operatorname{div}( ) = \nabla \cdot ( ) = \frac{\partial}{\partial x} \cdot ( )]$$

$$\text{simm.} \\ = \sigma_{j,i} (\Phi^T = \Phi)$$

Sia  $g = \underbrace{\Phi \cdot \Delta}_{\substack{\text{vettore} \\ \text{choppi}}}$   $\Leftrightarrow g_i = \sigma_{ij} \Delta_j$   $\Rightarrow \operatorname{div} g_i = ?$   $\operatorname{regola del prodotto}$   
 $= g_{i,j,i} = (\sigma_{ij} \Delta_j)_{,i} = \underbrace{\sigma_{ij,i} \Delta_j}_{(\operatorname{div} \Phi)_j} + \underbrace{\sigma_{ij} \Delta_{j,i}}_{\psi_{ji}}$   $\text{simm. } \Phi^T = \Phi$   
 $\Rightarrow \operatorname{div}(\Phi \cdot \Delta) = (\operatorname{div} \Phi) \cdot \Delta + \Phi : (\underbrace{\varepsilon^{(T)} + \vartheta^T}_{\psi})$   $\nabla_\delta \psi = \varepsilon + \vartheta$   $\varepsilon_{ji} = \varepsilon_{ij}$

$$\begin{aligned} \mathcal{I}^{AB} &= \int_V \Phi^A : \varepsilon^B \, dV = \left[ \operatorname{div}(\Phi^A \cdot \Delta^B) - (\operatorname{div} \Phi^A) \cdot \Delta^B \right] dV \\ &\stackrel{\text{Th. Div.}}{=} \int_S m \cdot \Phi^A \cdot \Delta^B \, dS - \int_V (\operatorname{div} \Phi^A) \cdot \Delta^B \, dV \end{aligned}$$

A static. amm.

B kinem. amm.

$$= \int_{S_f} f^A \cdot \Delta^B \, dS + \int_{S_J} m \cdot \Phi^A \cdot \Delta^B \, dS + \int_V F^A \cdot \Delta^B \, dV = \mathcal{I}_e^{AB}$$

c.v.d.

(idem per CS  
di equilibrio o  
di congruenza)

$$\sigma_{ij} \vartheta_{ji} = \sigma_{11} \vartheta_{11} +$$

$$\sigma_{12} \vartheta_{21} + \dots + \sigma_{21} \vartheta_{12} = 0$$

$$(\Phi : \vartheta^T = \Phi : \vartheta = 0)$$

$$\text{simis. } \vartheta^T = -\vartheta$$

$$\vartheta_{ji} = -\vartheta_{ij}$$

## Proprietà del "problema elastico lineare"

- Principio di Sovrapposizione degli Effetti (PSE)

$$\alpha \text{ (Sistema 1)} : \quad \mathbb{F}^1, f^1, \bar{\sigma}^1 \Rightarrow \boldsymbol{\sigma}^1, \boldsymbol{\varepsilon}^1, \boldsymbol{\gamma}^1$$

$$\beta \text{ (Sistema 2)} : \quad \mathbb{F}^2, f^2, \bar{\sigma}^2 \Rightarrow \boldsymbol{\sigma}^2, \boldsymbol{\varepsilon}^2, \boldsymbol{\gamma}^2$$

[ Valido per le linearità di tutte le equaz. governanti  $\Rightarrow$  operatori lineari ]

$$\text{es. } \operatorname{div}(\alpha \boldsymbol{\sigma}^1 + \beta \boldsymbol{\sigma}^2) = \alpha \operatorname{div} \boldsymbol{\sigma}^1 + \beta \operatorname{div} \boldsymbol{\sigma}^2$$

algebraie differenziali

$$\alpha \mathbb{F}_1 + \beta \mathbb{F}_2, \alpha f_1 + \beta f_2, \alpha \bar{\sigma}^1 + \beta \bar{\sigma}^2 \Rightarrow \alpha \boldsymbol{\sigma}^1 + \beta \boldsymbol{\sigma}^2, \alpha \boldsymbol{\varepsilon}^1 + \beta \boldsymbol{\varepsilon}^2, \alpha \boldsymbol{\gamma}^1 + \beta \boldsymbol{\gamma}^2$$

combinazione lineare dei dati      combinazione lineare delle soluzioni

- Buona posizione del problema (Esiste un numero finito di soluzioni con dipendenza continua dai dati)

- Esiste la soluzione (Teoria dell'Elasticità  $\Rightarrow$  SOKOLOVSKY, 1956)

- Unicità delle soluzioni (Esiste un'unica soluzione)  $\Rightarrow$  Th. di KIRCHHOFF  $\sim 1859$

Dim.: Da PSE con  $\alpha = -\beta = 1$ , con  $\mathbb{F} = \mathbb{F}^1 = \mathbb{F}^2, f = f^1 = f^2, \bar{\sigma} = \bar{\sigma}^1 = \bar{\sigma}^2$  } (stessi dati)

$$\left. \begin{array}{l} \Delta \mathbb{F} \equiv 0, \quad \Delta f \equiv 0, \quad \Delta \bar{\sigma} \equiv 0 \\ \Delta \boldsymbol{\sigma} = \boldsymbol{\sigma}^1 - \boldsymbol{\sigma}^2 \neq 0, \quad \Delta \boldsymbol{\varepsilon} = \boldsymbol{\varepsilon}^1 - \boldsymbol{\varepsilon}^2 \neq 0, \quad \Delta \boldsymbol{\gamma} = \boldsymbol{\gamma}^1 - \boldsymbol{\gamma}^2 \neq 0 \end{array} \right\} \begin{array}{l} (\text{diverse soluzioni}) \\ (\text{es. moti rigidh arbitrarj}) \end{array}$$

Hyp. (per assurdo) :

Da PLV (A, B sist. reale)

$$\int_{\mathcal{V}} \frac{1}{2} \Delta \boldsymbol{\sigma} : \Delta \boldsymbol{\varepsilon} dV = \int_{\mathcal{V}} \omega(\Delta \boldsymbol{\varepsilon}) dV = \int_{\mathcal{V}} \text{assurdo} \Rightarrow \Delta \boldsymbol{\varepsilon} = 0, \quad \Delta \boldsymbol{\sigma} = 0; \quad \Delta \boldsymbol{\gamma} \neq 0 \text{ in generale}$$

$\omega(\Delta \boldsymbol{\varepsilon}) > 0 \quad \forall \Delta \boldsymbol{\varepsilon} \neq 0$  (linearità + elasticità)      unicità su spazio e deformazione

- Approcci risolutivi
    - analitico (soluzioni esatte o approssimate)
    - numerico (soluzioni approssimate)  $\rightarrow$  Calcolo Numerico
      - v. CMSS
      - processo di discretizzazione  
( $\infty$  goll  $\rightarrow$  n. finito di goll)
  - Metodologie di analisi (metodi)
    - Diretto : Dati  $\rightarrow$  Soluzione (soluzione esatta, in forma chiusa, solo per casi particolari)
    - Semi- inverso : Dati  $\rightarrow$  Soluzione parzialmente nota (e meno di un certo n. di parametri)
    - Inverso : Dati  $\leftarrow$  Soluzione
      - : es. nota sperimentalmente
      - Input  $\leftarrow$  Output
- es. Structural Health Monitoring (SHM),  
 Identificazione parametrica mediante  
 analisi inversa,  
 Model updating